

Я. Р. Совин, Ю. М. Наконечний, М. Ю. Стахів  
Національний університет “Львівська політехніка”  
кафедра захисту інформації

## ДОСЛІДЖЕННЯ ХАРАКТЕРИСТИК ВБУДОВАНОГО ГЕНЕРАТОРА ВИПАДКОВИХ ЧИСЕЛ МІКРОКОНТРОЛЕРІВ РОДИНИ STM32F4XX ЗГІДНО З МЕТОДИКОЮ NIST STS

© Совин Я. Р., Наконечний Ю. М., Стахів М. Ю., 2013

**Проведено тестування вбудованого генератора випадкових чисел мікроконтролерів родини STM32F4XX з ядром ARM Cortex-M4F згідно з методикою NIST STS за різних значень тактової частоти. Показано, що за результатами тестів NIST STS ці генератори задовольняють вимоги, які ставляться до генераторів випадкових чисел у криптографічних додатках.**

**Ключові слова:** генератори випадкових чисел, тести NIST STS, STM32F4xx.

**Testing of microcontroller’s hardware random number generator of family STM32F4XX with the kernel ARM Cortex-M4F is conducted in obedience to the method of NIST STS at the different values of clock rate. It is shown that as a result of NIST STS tests these generators satisfy requirements which behave to the random number generators in cryptographic applications.**

**Key words:** random number generators, NIST STS tests, STM32F4xx.

### Вступ

Генератори випадкових чисел (ГВЧ) є важливими компонентами більшості криптографічних систем. Функції ГВЧ зводяться до генерації ключів у симетричних і асиметричних криптоалгоритмах, вироблення випадкових повідомлень у протоколах автентифікації, побудованих за схемою “запит-відповідь”, формування бітів доповнення до потрібного розміру блока, утворення векторів ініціалізації у блокових шифрах та масок для протидії атакам через сторонні канали [1, 2]. Вразливість в алгоритмі роботи або реалізації ГВЧ може скомпрометувати всю криптосистему або значно послабити її криптостійкість, тому в криптографічних applікаціях вимоги до якості ГВЧ найвищі.

Ідеальний ГВЧ здатний генерувати випадкові послідовності чисел, які статистично рівномірно розподілені, незалежні, непередбачувані та невідтворювані. Реальні ГВЧ, що використовуються в криптографії, лише певною мірою відповідають вказаним вимогам і відповідно до них поділяються на три базові класи [2]:

- Генератори псевдовипадкових чисел (ГПВЧ). Побудовані на певному детермінованому алгоритмі, який ініціалізується зовнішньо згенерованим випадковим числом – так званим зародком (seed). Відповідно, однакові значення зародка ГПВЧ завжди генерують однакові послідовності. Для забезпечення високого рівня захищеності ГПВЧ повинні періодично оновлювати значення зародка.

- Криптографічно захищені ГПВЧ (КЗГПВЧ). Ґрунтуються на ГПВЧ, але алгоритм, призначений для утворення випадкових чисел, унеможливає в обчислювальному сенсі передбачення наступного значення, навіть якщо відомі сам алгоритм і попередні вихідні дані. З цією метою можуть використовуватися, наприклад, алгоритми гешування або симетричного шифрування.

- Генератори істинно випадкових чисел (ГІВЧ). ГІВЧ використовують або певний фізичний випадковий процес – тепловий шум, фазовий джитер, або певні випадкові явища – дії користувача, вміст ОЗП, сигнал від мікрофонного входу тощо.

Оскільки ГІВЧ слугують для вироблення зародків у ГПВЧ та КЗГПВЧ, то можна стверджувати, що вони відіграють фундаментальну роль у захищеності всієї криптосистеми.

Фізичні джерела випадкових процесів мають аналогову природу. Інтеграція аналогових джерел шуму в цифрові обчислювальні засоби – мікроконтролери чи FPGA збільшує розміри кристала та споживану потужність. Проблемою також є те, що всередині мікросхеми на аналогові кола ГВЧ впливають близько розташовані цифрові кола та кола живлення, які генерують квазіперіодичні завади значно вищого рівня.

З огляду на це у вбудованих системах, особливо на базі мікроконтролерів (МК), переважно використовують криптографічно слабкі ГПВЧ: різні варіанти лінійного конгруентного методу чи реєстрів зсуву зі зворотними зв'язками.

Отже, створення ефективного (щодо потрібних ресурсів, швидкодії та споживаної потужності) та якісного ГВЧ для вбудованих систем є непростим завданням.

### **Аналіз останніх досліджень і публікацій**

Загалом ГВЧ складається з фізичного джерела випадкового сигналу, дискретизатора та блока детермінованої постобробки. Джерело випадкового сигналу генерує неперервний аналоговий сигнал (шум), який бінарно оцифровується (наприклад, компаратором). У багатьох випадках виконують алгоритмічну постобробку отриманої випадкової послідовності з метою маскування потенційних статистичних дефектів, що виникають внаслідок обмеженої смуги пропускання, технологічного розкиду параметрів, температурного дрейфу, дій зловмисника тощо. Цілком очевидно, що алгоритмічна постобробка призводить до зменшення продуктивності.

Два найпоширеніші методи побудови ГВЧ – підсилення і дискретизація внутрішніх шумів електронних компонентів (резисторів, діодів, стабілітронів) та використання частотної нестабільності несинхронізованих генераторів.

У статті [3] описано типовий ГВЧ, що використовує комбінацію аналогових і цифрових компонентів. Він складається з двох стабілітронів, які є джерелом білого шуму. Шумовий сигнал підсилюється до цифрових логічних рівнів та дискретизується за допомогою компаратора та тригера. Оскільки кола підсилення споживають достатньо багато потужності, мають аналоговий характер та вносять спотворення в сигнал, інтеграція подібних ГВЧ у більшість мікроконтролерів чи FPGA проблематична.

Тому в роботі [4] ГВЧ пропонується побудувати на PSoC-мікроконтролері, який має розміщені на кристалі програмно конфігуровані аналогові кола (резистори, конденсатори, підсилювачі, компаратори). Проте через високий рівень внутрішніх шумів вбудованих підсилювачів МК потрібно використовувати зовнішні широкосмугові прецизійні операційні підсилювачі. Крім збільшення розмірів, вартості та енергоспоживання генератора, це додатково робить його дуже вразливим до зовнішніх впливів.

ГВЧ на основі цифрових генераторів використовують два незалежні генератори (без стабілізації частоти), відмінні внутрішні шуми яких спричиняють джитер фази  $t_J$  (короткочасні зміщення фронтів у часі), що і є джерелом випадковості [2]. Вихід високочастотного генератора (ВЧГ) дискретизується за зростаючим фронтом сигналу низькочастотного генератора (НЧГ) за допомогою D-тригера (рис. 1, а).

Недоліком такого методу є необхідність накопичення фази джитеру впродовж тривалого часу (оскільки джитер цифрових генераторів достатньо малий), щоб отримати якісні випадкові дані, а це обмежує продуктивність ГВЧ на рівні 1 Мбіт/с, що може бути недостатнім для високопродуктивних криптосистем.

Відомі декілька спроб зменшити час накопичення джитера. Наприклад, запропонований фірмою Intel ГВЧ (рис. 1, б) як додаткове джерело ентропії використовує два диференційно увімкнених резистори, тепловий шум яких підсилюється і здійснює модуляцію частоти керованого напругою низькочастотного генератора (КННЧГ), сигнал якого слугує для дискретизації виходу незалежного ВЧГ. Вихідна послідовність проходить постобробку з використанням коректора фон Неймана та алгоритму гешування SHA-1 [5]. Проте така архітектура не повністю цифрова, що ускладнює її реалізацію.

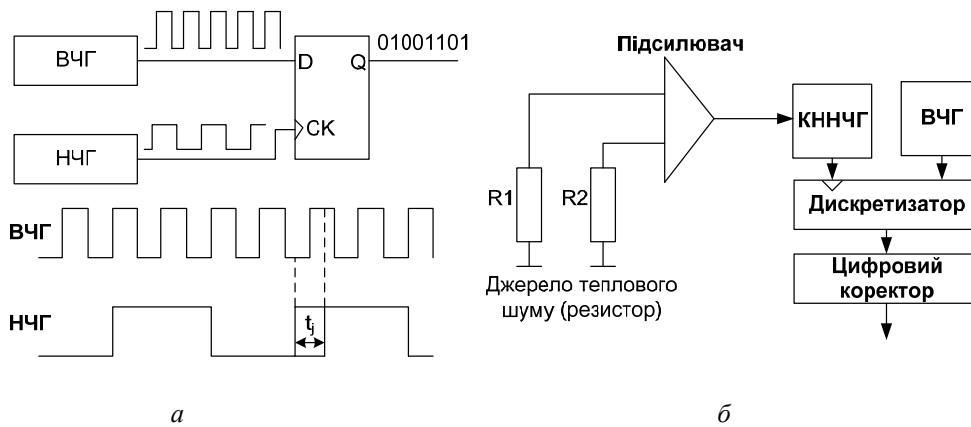


Рис. 1. ГІВЧ на основі незалежних генераторів (а) та його вдосконалений варіант (б)

Інший підхід до вдосконалення схеми незалежних генераторів полягає в їх використанні для тактування лінійного регістра зсуву зі зворотними зв'язками (LFSR) та клітинного автомата (CASR) – рис. 2, а [6] або декількох ліній затримок на логічних вентилях, виходи яких об'єднуються за допомогою операції XOR – рис. 2, б [7].

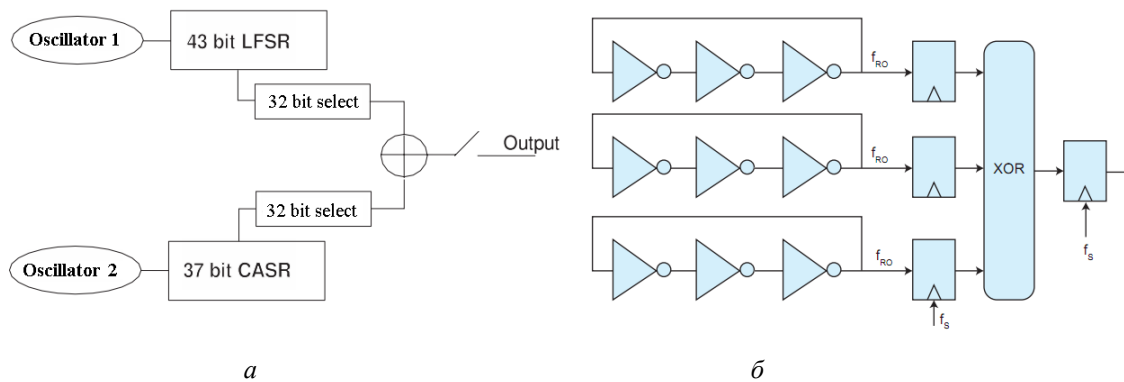


Рис. 2. ГІВЧ на основі лінійних і клітинних автоматів (а) та лінії затримки (б)

Описані ГІВЧ орієнтовані на FPGA, ASIC, SoC, тобто обчислювальні засоби з програмованою внутрішньою структурою, і непридатні для реалізації в готовому мікроконтролері з жорсткою архітектурою.

Для вирішення цієї проблеми деякі виробники останнім часом почали вводити до складу мікроконтролерів апаратні ГІВЧ. Зокрема, у високопродуктивних мікроконтролерах родини STM32F4xx (фірма STMicroelectronics), побудованих на базі універсального ядра ARM Cortex-M4F, з'явився вбудований модуль ГІВЧ, що у поєднанні з апаратною підтримкою основних криптографічних операцій (шифрування – AES/DES/TDES, гешування – MD5/SHA-1/HMAC) робить їх зручною платформою для криптоаплікацій.

У технічній документації на мікроконтролери родини STM32F4xx відсутня детальна кількісна оцінка якості вбудованого генератора, а лише зазначено, що він забезпечує у 85 % успішне проходження тестів згідно зі стандартом FIPS 140-2 [8]. Зауважимо, що хоча рання версія стандарту FIPS 140-2 і передбачала виконання чотирьох тестів над випадковими послідовностями довжиною 20000 бітів, проте в останній чинній версії стандарту цієї вимоги немає, а сам набір тестів за сучасними мірками є надто примітивним.

### Мета статті

Мета роботи – дослідити статистичні характеристики вбудованих ГІВЧ мікроконтролерів загального призначення родини STM32F4xx з 32-бітним ядром ARM Cortex-M4F у різних режимах роботи з метою виявлення та усунення можливих недоліків.

### Архітектурні особливості вбудованих ГІВЧ мікроконтролерів родини STM32F4xx

Модуль ГІВЧ у мікроконтролерах STM32F4xx побудований на джерелі аналогового шуму і забезпечує генерацію випадкових 32-бітних чисел. Також в ньому передбачено спеціальні кола, які здійснюють онлайн-контроль роботи ГІВЧ та сигналізують про можливі збої – такі як генерація постійних значень або постійної послідовності значень.

Структурна схема апаратного ГІВЧ МК родини STM32F4xx наведена на рис. 3 [9].

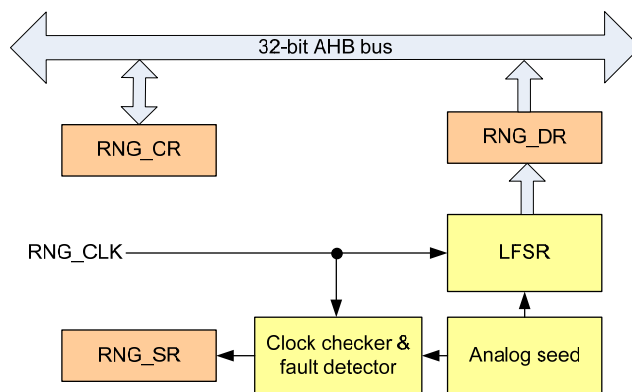


Рис. 3. Структурна схема модуля ГІВЧ у мікроконтролерах родини STM32F4xx

Аналогові кола генерують зародок (*Analog seed*), що надходить на лінійний регістр зсуву зі зворотними зв'язками (*LFSR*). Аналогові кола побудовані на незалежних генераторах, чий виход об'єднуються операцією XOR. Для тактування *LFSR* використовується окремий тактовий сигнал (*RNG\_CLK*), який формується спеціальною схемою ФАПЧ, тому якість ГІВЧ не залежить від значення основної тактової частоти МК. Генерація одного 32-бітного значення потребує до 40 тактів сигналу *RNG\_CLK*. Максимальне значення *RNG\_CLK* становить 48 МГц.

Коли 32-бітне випадкове число сформоване – воно пересилається у регістр даних (*RNG\_DR*) та встановлюється відповідний прапорець у регістрі статусу (*RNG\_SR*).

Паралельно здійснюється моніторинг тактового сигналу *RNG\_CLK* та зародка. Регістр статусу містить спеціальні прапорці, які сигналізують про атипову послідовність зародків (прапорець *SECS*) або про те, що тактова частота є заниженою (прапорець *CECS*). За збій приймаються дві ситуації: коли згенеровано 64 і більше послідовних бітів з однаковим значенням (0 або 1) або 32 послідовні пари 0 і 1 (0101010101...01). Виявивши збій, ГІВЧ треба перезапустити за допомогою відповідних бітів регістра управління (*RNG\_CR*).

Отже, єдиним програмно керованим параметром, що може впливати на роботу ГІВЧ, є значення тактової частоти *RNG\_CLK*, проте в технічній документації характер цього впливу не описано, а тому це питання потребує додаткового вивчення.

### Вибір та налаштування апаратних засобів для експериментальних досліджень

Для експериментальних досліджень вбудованого ГІВЧ мікроконтролерів родини STM32F4xx вибрано плату STM32F4DISCOVERY, на якій встановлено МК STM32F407VG з 32-бітним ядром ARM Cortex-M4F. Згенеровані послідовності передавалися в USB-порт ПК для подальшого аналізу. Генерація випадкових послідовностей здійснювалася за таких параметрів:

- тактова частота ГІВЧ (*RNG\_CLK*) – 22.4/28.0/37.3/48.0 МГц;
- тактова частота ядра мікроконтролера – 168 МГц;
- напруга живлення мікроконтролера – 3.3 В.

Генерація послідовностей виконувалася за вимогами [8], згідно з якими перше вироблене 32-бітне випадкове число не використовується, а кожен наступний вироблений 32-бітний блок даних порівнюється з попереднім і якщо вони збігаються, то це трактується як збій у роботі ГІВЧ.

Додатково в процесі формування випадкових послідовностей відстежувалася частота появи збоїв, що виявляються колами ГІВЧ (прапорці *SECS* та *CECS*). Під час відлагодження програми та генерації послідовностей ми не виявили жодного з вищевказаних збоїв, що свідчить про надійну і стабільну роботу вбудованого ГІВЧ.

### Результати дослідження статистичних характеристик ГІВЧ

Для перевірки якості ГІВЧ застосовують різні набори статистичних тестів, серед яких стандартом де-факто є набір тестів (Statistical Test Suite, STS), розроблений National Institute of Standards and Technology (NIST) [10]. Порівняно з іншими відомими наборами тестів тести NIST STS використовують відкриті, детально специфіковані алгоритми, містять контрольні послідовності для перевірки правильності їх реалізації, а також забезпечують однозначну інтерпретацію результатів тестування.

Набір NIST STS складається з 15 окремих статистичних тестів, кожен з яких здійснює перевірку бінарної послідовності на одну з можливих ознак відхилення від випадковості. На підставі результатів тестів приймають (або відхиляють) гіпотезу про те, що така послідовність є випадковою. Результатом виконання кожного тесту є так зване *P-value*, яке міститься в діапазоні [0, 1]. Рівень значущості  $\alpha$  задає імовірність того, що випадкова послідовність буде сприйнята як не випадкова. Якщо  $P\text{-value} \geq \alpha$ , то вважають, що послідовність, яка тестується, пройшла перевірку і є випадковою.

Тестування проводилося за рівня значущості  $\alpha = 0.01$ , який рекомендований в [10]. Враховуючи, що мінімальна кількість випадкових послідовностей  $m$  повинна бути обернено пропорційною до  $\alpha$  ( $m \geq 100$ ), у цій роботі вибрано значення  $m = 1000$ . Оскільки деякі тести для отримання коректного результату вимагають, щоб розмір випадкової послідовності  $n$  був не менший за  $10^6$  бітів, ми прийняли  $n = 10^6$ . Отже, сумарний об'єм вибірки становив  $10^9$  бітів.

Для дослідження статистичних характеристик випадкових послідовностей, згенерованих вбудованим ГІВЧ, створене ПЗ у середовищі MatLab, що реалізує тести NIST STS, а також виконує протоколювання та інтерпретацію результатів. У середовищі IAR 6.30 Embedded Workbench for ARM написано програму для МК STM32F407VG, яка здійснює генерацію вбудованим ГІВЧ 1000 послідовностей, розміром  $10^6$  бітів кожна.

Особливістю тестів Random Excursions та Random Excursions Variant є те, що їх результати (*P-value*) достовірні лише тоді, коли для цієї послідовності параметр  $J$ , розрахований за наведеним в [10] алгоритмом, матиме значення, не менше за 500 ( $J \geq 500$ ). Тому для коректного виконання цих тестів окремо генерувалися і відбиралися 1000 послідовностей з  $J \geq 500$ .

До кожної з 1000 послідовностей застосовувався набір тестів з параметрами, вказаними у табл. 1 за рівня значущості  $\alpha = 0.01$ .

Для оцінки якості вбудованого ГІВЧ мікроконтролерів STM32F4xx ми дотримувалися рекомендацій щодо інтерпретації результатів, описаних в [10]. Документ [10] передбачає дві стратегії ухвалення рішення про те, чи цей ГІВЧ пройшов тест на випадковість.

**Стратегія 1.** Ця стратегія для кожного тесту визначає частку послідовностей  $P1$ , що пройшли перевірку ( $P\text{-value} \geq \alpha$ ) та порівнює її з пороговим значенням  $P1_{THR}$ .

$$P1 = \frac{\sum_{i=1}^{1000} (P\text{-value}(i) \geq \alpha)}{m}, \quad P1_{THR} = (1 - \alpha) - \sqrt{\frac{(1 - \alpha)\alpha}{m}} = 0.980561.$$

Якщо хоча б для одного з 15 тестів значення  $P1$  є меншим за поріг ( $P1 < P1_{THR}$ ), то вважають, що ГІВЧ тест на випадковість не пройшов.

Як впливає з даних, наведених у табл. 1 та на рис. 4, вбудований ГІВЧ пройшов перевірку на випадковість у всіх чотирьох режимах формування вихідних бітів.

Результати тестування ГІВЧ згідно зі стратегією 1 (при  $m = 1000$  і  $n = 10^6$ )

№ тесту	Статистичний тест і його параметри	P1			
		22.4 МГц	28.0 МГц	37.3 МГц	48.0 МГц
1	Frequency	0.994000	0.989000	0.988000	0.996000
2	Block Frequency ( $M=128$ )	0.987000	0.990000	0.993000	0.984000
3	Runs	0.987000	0.993000	0.986000	0.990000
4	Longest Run ( $M=10000$ )	0.986000	0.987000	0.986000	0.988000
5	Rank	0.988000	0.988000	0.995000	0.994000
6	DFT	0.989000	0.992000	0.985000	0.987000
7...154	Non-Overlapping Template ( $M=9$ , 148 шаблонів)	0.990068 (mean)	0.989649 (mean)	0.989966 (mean)	0.990041 (mean)
155	Overlapping Template ( $M=9$ )	0.984000	0.989000	0.992000	0.985000
156	Linear Complexity ( $M=500$ )	0.987000	0.985000	0.986000	0.985000
157	Universal ( $L=8$ , $Q=2356$ )	0.982000	0.988000	0.983000	0.986000
158	Serial ( $M=16$ , $\nabla \psi_m^2$ )	0.989000	0.990000	0.987000	0.996000
159	Serial ( $M=16$ , $\nabla^2 \psi_m^2$ )	0.996000	0.993000	0.987000	0.995000
160	Approximate Entropy ( $M=10$ )	0.992000	0.985000	0.993000	0.993000
161	Cumulative Sums (Forward)	0.990000	0.990000	0.990000	0.999000
162	Cumulative Sums (Reverse)	0.992000	0.991000	0.987000	0.996000
163...170	Random Excursions ( $x = -4, \dots, -1, 1, \dots, 4$ )	0.991500 (mean)	0.989000 (mean)	0.989625 (mean)	0.992000 (mean)
171...188	Random Excursions Variant ( $x = -9, \dots, -1, 1, \dots, 9$ )	0.991000 (mean)	0.990500 (mean)	0.990667 (mean)	0.990722 (mean)

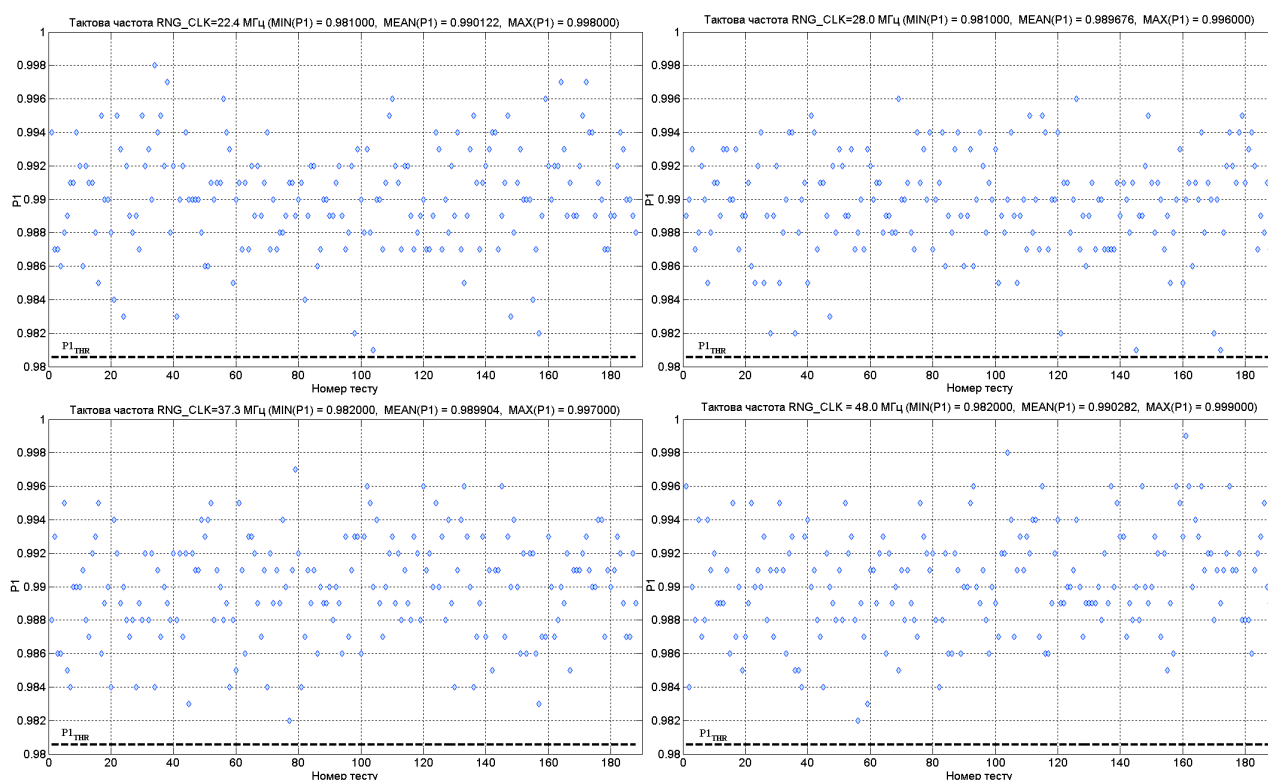


Рис. 4. Результати проходження тестів NIST STS згідно зі стратегією 1

**Стратегія 2.** ґрунтується на тому, що в якісного ГІВЧ розподіл  $P$ -value для кожного тесту є рівномірним на інтервалі  $[0, 1]$ . Для перевірки цієї гіпотези використовується тест  $\chi^2$  значень  $P$ -value, розбитих на 10 підінтервалів  $C1-C10$  з кроком 0.1:

$$\chi^2 = \sum_{i=1}^{10} \frac{(C_i - m/10)^2}{m/10}, \quad P2 = P(\chi^2) = \text{igamc}(9/2, \chi^2/2).$$

Якщо отримане в результаті перевірки гіпотези значення  $P2 < 0.0001$ , то приймають рішення, що ГІВЧ тест не пройшов.

Згідно з даними, наведеними у табл. 2 та на рис. 5, вбудований ГІВЧ пройшов перевірку на випадковість для всіх 15 тестів у всіх чотирьох режимах формування вихідних бітів.

Таблиця 2

Результати тестування ГІВЧ згідно зі стратегією 2 (якщо  $m = 1000$  і  $n = 10^6$ )

№ тесту	Статистичний тест і його параметри	P2			
		22.4 МГц	28.0 МГц	37.3 МГц	48.0 МГц
1	Frequency	0.040901	0.340858	0.132640	0.419021
2	Block Frequency ( $M=128$ )	0.227180	0.002236	0.169044	0.992084
3	Runs	0.340858	0.715679	0.207730	0.056426
4	Longest Run ( $M=10000$ )	0.196920	0.298282	0.433590	0.467322
5	Rank	0.378705	0.668321	0.188601	0.373625
6	DFT	0.123038	0.703417	0.921624	0.313041
7...154	Non-Overlapping Template ( $M=9$ , 148 шаблонів)	0.503867 (mean)	0.545013 (mean)	0.537733 (mean)	0.484438 (mean)
155	Overlapping Template ( $M=9$ )	0.142062	0.459717	0.591409	0.007975
156	Linear Complexity ( $M=500$ )	0.721777	0.512137	0.872425	0.916599
157	Universal ( $L=8, Q=2356$ )	0.239266	0.465415	0.651693	0.542228
158	Serial ( $M=16, \nabla \psi_m^2$ )	0.401199	0.796268	0.599693	0.747898
159	Serial ( $M=16, \nabla^2 \psi_m^2$ )	0.325206	0.122325	0.486588	0.473064
160	Approximate Entropy ( $M=10$ )	0.326749	0.334538	0.727851	0.221317
161	Cumulative Sums (Forward)	0.805569	0.719747	0.859637	0.947308
162	Cumulative Sums (Reverse)	0.144504	0.605916	0.839507	0.057146
163...170	Random Excursions ( $x = -4, \dots, -1, 1, \dots, 4$ )	0.558054 (mean)	0.693370 (mean)	0.585901 (mean)	0.476444 (mean)
171...188	Random Excursions Variant ( $x = -9, \dots, -1, 1, \dots, 9$ )	0.403106 (mean)	0.447080 (mean)	0.517400 (mean)	0.570220 (mean)

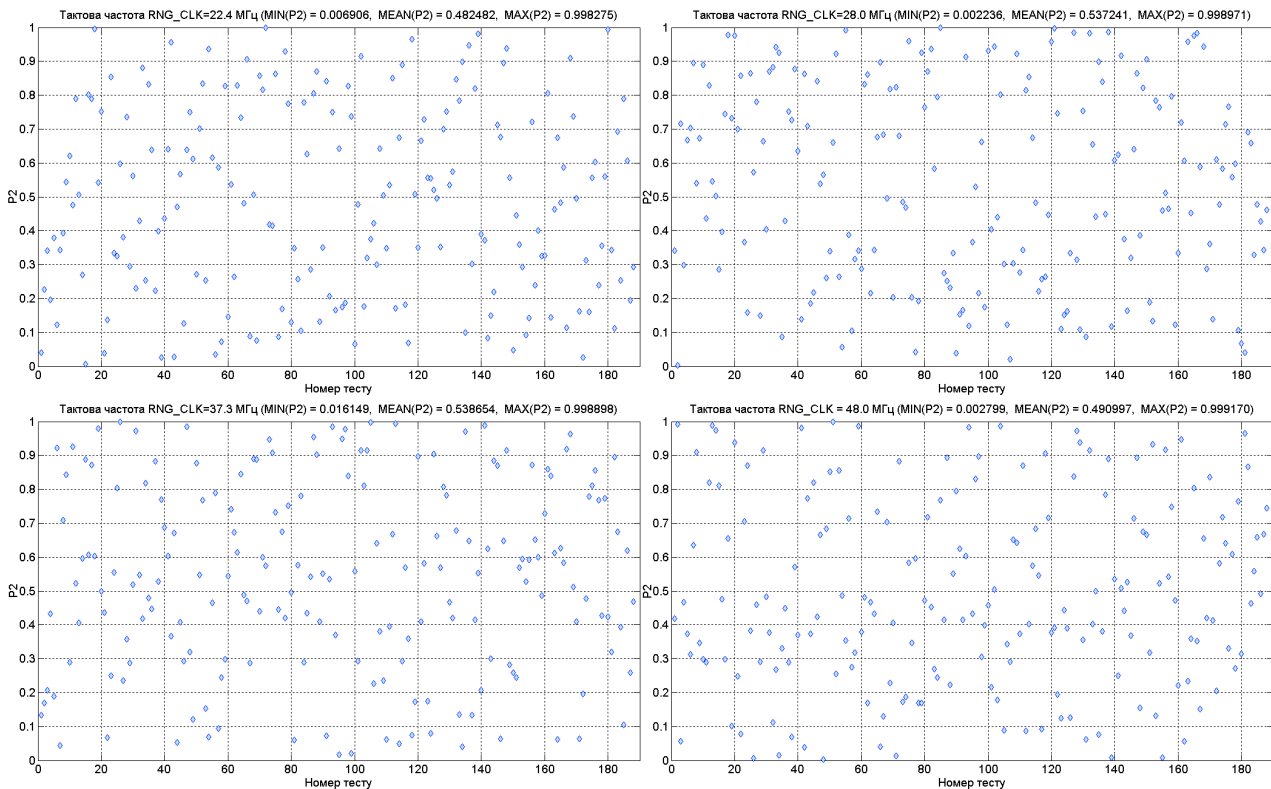


Рис. 5. Результати проходження тестів NIST STS згідно зі стратегією 2

## Висновки

За даними тестування NIST STS вбудовані ГІВЧ мікроконтролерів родини STM32F4xx пройшли всі перевірки на випадковість і задовольняють вимоги, які ставляться до ГВЧ в криптографічних додатках. Висока криптостійкість досягається за різних значень тактової частоти генератора, що дає змогу розробнику вибирати її залежно від вимог конкретного застосування.

Висока продуктивність та стабільність роботи вбудованого ГІВЧ у поєднанні з апаратним шифруванням і гешуванням робить мікроконтролери родини STM32F4xx перспективною платформою для широкого спектра пристроїв та систем, які потребують використання криптографічних операцій та протоколів.

1. *Secure Integrated Circuits and Systems* // Ed. Ingrid M.R. Verbauwhede. – Springer-Verlag, 2010. – 246 p. – ISBN 978-0-387-71827-9. 2. *Cryptographic Engineering* // Ed. Koc C.-K. – New York: Springer Science+Business Media, 2009. – 522 p. – ISBN 978-0-387-71816-3. 3. Killmann W., Schindler W. *A Design for a Physical RNG with Robust Entropy Estimators* // *Proceedings of the 10th International Workshop on Cryptographic Hardware and Embedded Systems (CHES'08)*, 2008, Washington, USA, LNCS, Vol. 5154, pp. 146-163, Springer, Heidelberg (2008). 4. *Application Note AN2307. Consumer/Industrial Hardware Random Number Generator* // Cypress Semiconductor, 2006, 12 p. 5. Jun B., Kocher P. *The Intel Random Number Generator*. Cryptography Research, Inc., White Paper prepared for Intel Corporation, 1999, 8 p. 6. Tkacik T. *A Hardware Random Number Generator* // *Proceedings of the 4th International Workshop on Cryptographic Hardware and Embedded Systems (CHES'02)*, 2002, Redwood Shores, USA, LNCS, Vol. 2523, pp. 450-453, Springer, Heidelberg (2002). 7. Schaumont P. *True Random Number Generation* // *Circuit Cellar*, Issue 268, November 2012, pp. 52-58. 8. *FIPS PUB 140-2. Security Requirements for Cryptographic Modules* // *Federal Information Processing Standards Publication 140-2*, 2001, 69 p. 9. *Reference manual. STM32F405xx, STM32F407xx, STM32F415xx and STM32F417xx advanced ARM-based 32-bit MCUs (RM0090)* // STMicroelectronics, 2011, 1316 p. 10. *NIST SP 800-22rev1a. A Statistical Test Suite for Random and Pseudorandom Number Generators for Cryptographic Applications* // *National Institute of Standards and Technology Special Publication 800-22rev1a*, 2010, 131 p.